

多比特信息分布式检测优化研究*

谢红卫

(国防科技大学自动控制系 长沙 410073)

摘要 本文拓展了通常意义下多传感器组网分布式检测模型,允许各传感器向融合中心传输多比特信息。给出了 Kullback 分辨率意义下,确定最优多比特信息的方法,以利于改善系统检测性能。数值结果表明,多比特信息分布式检测方案是可行的。

关键词 多比特, 分布式, 检测, 优化

分类号 TN911.23

1 问题的提出

如图 1 所示的 N 个传感器并行组网的检测网,其分布式检测(二元假设检验)的优化问题,已由^[1,2]作了详细的研究。通常意义下的分布式检测模型,认定各局部判决器(DM_{*i*})只向融合中心传输局部“硬”判决结果 $u_i = \{0, 1\}$,分别表示根据局部采样 y_i 判定竞争假设 H^0 或 H^1 为真。在此通信规程约束下,待传输的信息只占 1 比特,因而能减轻组网检测对信道的压力。

其实,通信容量并不总是严格要求 u_i 只能占用 1 比特,因此本文将放宽通信约束,认定(DM_{*i*})可以向融合中心传输描述局部采样 y_i 的多比特信息,而不仅仅局限于局部“硬”判决结果。在多比特信息条件下可以期望改善系统最终检测性能,扩展和丰富^[1,2]的工作,以使我们的研究涵盖和描述更广泛的实际问题。

$u_i = \{0, 1\}$ 可以理解为对原始局部采样 $\{y_i\}$ 的数字化描述。由于 DM_{*i*} 采用 LRT,因此它们表示充分统计量 $\Lambda_i(y_i)$ 分别取值于二个不同的区间 Ω^0, Ω^1 ,但无法提供 $\Lambda_i(y_i)$ 与门限间的距离信息,即无法提供局部判决的可信度信息。当 u_i 是 M 比特信息时,我们期望 DM_{*i*} 能提供关于 $\Lambda_i(y_i)$ 的更进一步的信息,更详细地描述采样 $\{y_i\}$,区分 $\Lambda_i(y_i)$ 取值的不同区间。为此,要求 DM_{*i*} 采用多门限工作,将 $\Lambda_i(y_i)$ 的取值域分解成 2^M 个区间,并输出相应的 u_i 值。这样融合中心的采样向量 $U = \{u_1, \dots, u_n\}$ 将携带更多的信息。如何确定一定意义下的最优多门限工作方式正是本文要研究的。

DM_{*i*} 所采用门限组不同,将导致融合中心采样向量 U 的不同条件分布。于是,本章问题的一般性表述为:

* 1994年6月5日收稿

求取门限 $\lambda_i(j), i=1, \dots, n, j=1, \dots, 2^M-1, \lambda_i(1) < \lambda_i(2) < \dots < \lambda_i(2^M-1)$, 使得相应的 $U = \{u_1, \dots, u_n\}$ 能有效描述原始采样 $\{y_1, \dots, y_n\}$, 进一步改善系统最终检测性能。

上述表述中并没有给定衡量 U 为有效描述的准则。为使问题可解, 本文将采用衡量检测性能的间接准则, 即 Ali-Silvey 分辨距离^[3], 使得条件分布 $P(U|H^0)$ 与 $P(U|H^1)$ 之间距离最大, 因而最易分辨。这只是一次次优方案。

其次, 我们认定多比特信息 u_i 在通常意义的分布式检测判决 u_i^* 的基础上获得, 即认定局部二元判决 u_i^* 给定, 因而 $\lambda_i(2^{M-1})$ 给定。此时 u_i 将可自然地解释为局部“软”判决, 是对 u_i^* 细化和补充。DM_{*i*} 的 2^M-1 个门限可重新标记为:

$$\begin{aligned} \lambda_i^0(2^{M-1}-1) < \dots < \lambda_i^0(1) < \lambda_i^0(0) = \lambda_i(0) \\ = \lambda_i^1(0) < \lambda_i^1(1) < \dots < \lambda_i^1(2^{M-1}-1) \end{aligned} \quad (1)$$

门限记号上标与 u_i^* 取值相对应。

2 多比特信息分布式检测优化

2.1 2 比特信息优化

当 DM_{*i*} 可以传输 2 比特信息 u_i 时, $\Lambda_i(y_i)$ 的值域将被分为 4 个区间。相应的 1 比特局部判决信息 u_i^* 为:

$$\begin{cases} \Lambda_i(y_i) \in \Omega_i^1 = \{\Lambda_i(y_i) \geq \lambda_i(0)\} \text{ 时, } u_i^* = 1 (H^1 \text{ 真}) \\ \Lambda_i(y_i) \in \Omega_i^0 = \{\Lambda_i(y_i) < \lambda_i(0)\} \text{ 时, } u_i^* = 0 (H^0 \text{ 真}) \end{cases} \quad (2)$$

于是 2 比特信息 u_i 对应于 Ω_i^1, Ω_i^0 的再分解, 即

$$\begin{cases} \Omega_i^1 = \{\lambda_i^1(0) \leq \Lambda_i(y_i) < \lambda_i^1(1)\} \cup \{\Lambda_i(y_i) \geq \lambda_i^1(1)\} \\ = \Omega_i^1(0) \cup \Omega_i^1(1) \\ \Omega_i^0 = \{\lambda_i^0(1) \leq \Lambda_i(y_i) < \lambda_i^0(0)\} \cup \{\Lambda_i(y_i) < \lambda_i^0(1)\} \\ = \Omega_i^0(0) \cup \Omega_i^0(1) \end{cases} \quad (3)$$

u_i 的具体赋值无关紧要, 不妨以二进制数标记之。其实际意义为:

$$u_i = \begin{cases} 11 & (u_i^* = 1, \text{ 且具有高的可信度}) & \Lambda_i(y_i) \in \Omega_i^1(1) \\ 10 & (u_i^* = 1, \text{ 且具有低的可信度}) & \Lambda_i(y_i) \in \Omega_i^1(0) \\ 00 & (u_i^* = 0, \text{ 且具有低的可信度}) & \Lambda_i(y_i) \in \Omega_i^0(0) \\ 01 & (u_i^* = 0, \text{ 且具有高的可信度}) & \Lambda_i(y_i) \in \Omega_i^0(1) \end{cases} \quad (4)$$

可见, u_i 可自然地理解为局部“软”判决, 比 u_i^* 提供了更多的信息。

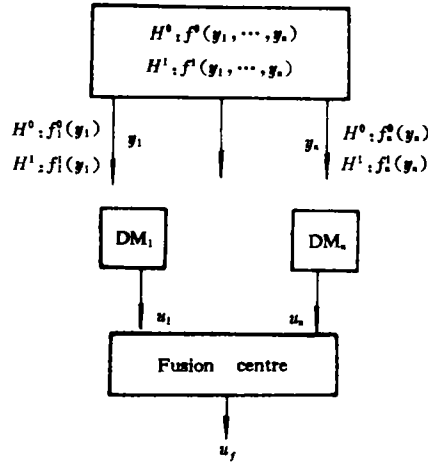


图1 并行检测网

影响系统最终检测性能的直接因素是融合中心的检测判决,它取决于融合法则和信息集 $U = \{u_1, \dots, u_n\}$,一旦 U 的条件分布给定,融合法则的确定是简单明了的,即 LRT。

因此设计易于分辨的向量 U 的条件分布是多比特分布式检测优化设计的核心,它们由待求的局部判决门限所决定。为给出它们之间的关系,记 u_i^* 的虚警概率和检测概率为

$$\begin{cases} P(\Omega_i^1 | H^1) = 1 - L_i^1(\lambda_i(0)) = \alpha_i \\ P(\Omega_i^1 | H^0) = 1 - L_i^0(\lambda_i(0)) = \beta_i \end{cases} \quad (5)$$

其中 L_i^1, L_i^0 为 $\Delta_i(y_i)$ 在 H^1, H^0 条件下的分布函数。

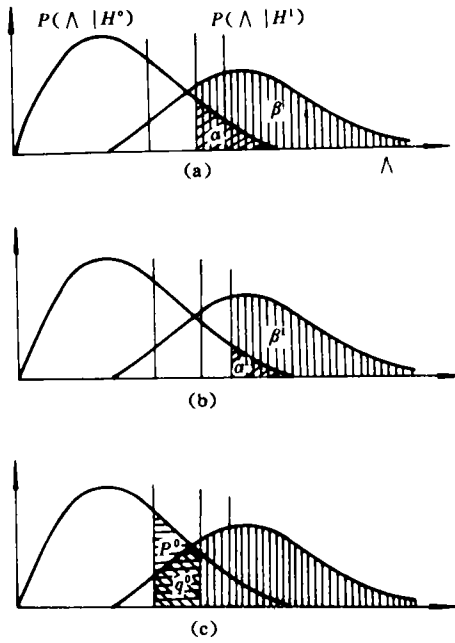


图2 (a) α, β ; (b) $\alpha(1), \beta(1)$; (c) $p(0), q(0)$

记 u_i 的条件分布 ($j=0,1$) 为

$$\begin{cases} P(u_i = 1j | H^1) = P(\Omega_i^1(j) | H^1) = \alpha_i(j) \\ P(u_i = 1j | H^0) = P(\Omega_i^1(j) | H^0) = \beta_i(j) \\ P(u_i = 0j | H^1) = P(\Omega_i^0(j) | H^1) = p_i(j) \\ P(u_i = 0j | H^0) = P(\Omega_i^0(j) | H^0) = q_i(j) \end{cases} \quad (6)$$

$j = 0,1; \quad i = 1, \dots, n.$

则我们有关系式:

$$\begin{aligned} \alpha_i(0) + \alpha_i(1) &= \alpha_i \\ \beta_i(0) + \beta_i(1) &= \beta_i \\ p_i(0) + p_i(1) &= 1 - \alpha_i, \quad i = 1, \dots, n. \\ q_i(0) + q_i(1) &= 1 - \beta_i \end{aligned} \quad (7)$$

而且有:

$$\begin{cases} \alpha_i(1) = 1 - L_i^1(\lambda_i^1(1)) \\ \beta_i(1) = 1 - L_i^0(\lambda_i^0(1)) \\ p_i(1) = L_i^1(\lambda_i^0(1)) \\ q_i(1) = L_i^0(\lambda_i^0(1)) \quad i = 1, \dots, n. \end{cases} \quad (8)$$

有关变量示于图2。可见 $(\beta_i(1), \alpha_i(1)), (1 - q_i(1), 1 - p_i(1))$ 位于局部检测 ROC 曲线之上,且分别与门限 $\lambda_i^1(1), \lambda_i^0(1)$ 相对应。由于 α_i, β_i 给定,故 u_i 的条件分布完全由 $\alpha_i(1),$

$p_i(1)$, 进而完全由门限 $\{\lambda^1(1), \lambda^0(1)\}$ 决定。如前所述, 问题归结为优化再分解门限。

本文采用 Kullback 信息量分辨率为优化准则, 给出再分解门限的优化条件, 从而得到 u_i^* 的较优的 2 比特改进信息。采用其它 Ali-Silvey 分辨距离^[3]的优化工作可参照完成。

二个条件分布的 Kullback 信息量分辨率定义为:

$$K(y) = \int f(y|H^0) \ln \frac{f(y|H^0)}{f(y|H^1)} dy \quad (9)$$

当 $K(y)$ 最大时, 说明分布密度 $f(y|H^0)$, $f(y|H^1)$ 相距最远, 差异最大, 因而最易分辨。考虑 u_i 彼此独立及 K 的加性可分性^[1, 4], 我们有

$$K(U) = \sum_{i=1}^n K_i(u_i) \quad (10)$$

等价地比较 U 的对数似然比的条件分布, 记

$$W(U) = \ln \frac{P(U|H^1)}{P(U|H^0)} = \sum_{i=1}^n W_i(u_i) \quad (11)$$

$$K(W(U)) = \sum_{i=1}^n K_i(W_i(u_i)) \quad (12)$$

其中 K_i 为局部分辨系数, 它是 $\lambda^1(1), \lambda^0(1)$ 的函数, 展开后有

$$\begin{aligned} K_i(w_i(u_i)) &= -E(W_i(u_i)|H^0) \\ &= [-\beta_i(0) \cdot \ln \frac{\alpha_i(0)}{\beta_i(0)} - \beta_i(1) \cdot \ln \frac{\alpha_i(1)}{\beta_i(1)}] \\ &\quad + [-q_i(0) \cdot \ln \frac{p_i(0)}{q_i(0)} - q_i(1) \cdot \ln \frac{p_i(1)}{q_i(1)}] \end{aligned} \quad (13)$$

上式右边括号内各项分别只与 $\lambda^1(1), \lambda^0(1)$ 有关。欲求 K 的最大值条件, 可分别优化 $\lambda^1(0), \lambda^0(1)$ 。经运算可得优化的再分解门限应满足:

$$\lambda^1(1) = \frac{\alpha_i(1)(\alpha_i - \alpha_i(1))}{\beta_i \alpha_i(1) - \alpha_i \beta_i(1)} \ln \frac{\alpha_i(1)(\beta_i - \beta_i(1))}{\beta_i(1)(\alpha_i - \alpha_i(1))} \quad (14)$$

$$\lambda^0(1) = \frac{p_i(1)(1 - \alpha_i - p_i(1))}{(1 - \alpha_i)q_i(1) - (1 - \beta_i)p_i(1)} \ln \frac{q_i(1)(1 - \alpha_i - p_i(1))}{p_i(1)(1 - \beta_i - \alpha_i(1))} \quad (15)$$

于是结合(7), (8)求解方程(14)和(15), 在 Kullback 分辨率意义下, 我们可得到对 Ω_i^0, Ω_i^1 的最佳再分解, 进而得到 u_i^* 的最佳 2 比特改进信息, 可望提高系统的检测性能。

2.2 M 比特信息优化

当 u_i 为 M 比特改进信息时, 意味着 Ω_i^1, Ω_i^0 将被再分解为:

$$\begin{cases} \Omega_i^1 = \Omega_i^1(0) \cup \dots \cup \Omega_i^1(2^{M-1} - 1) \\ \Omega_i^0 = \Omega_i^0(0) \cup \dots \cup \Omega_i^0(2^{M-1} - 1) \end{cases} \quad (16)$$

其中

$$\begin{cases} \Omega_i^1(2^{M-1}-1) = \{\Lambda_i(y_i) \geq \lambda_i^1(2^{M-1}-1)\} \\ \Omega_i^0(2^{M-1}-1) = \{\Lambda_i(y_i) < \lambda_i^0(2^{M-1}-1)\} \\ \Omega_i^1(j) = \{\lambda_i^1(j) \leq \Lambda_i(y_i) < \lambda_i^1(j+1)\} \\ \Omega_i^0(j) = \{\lambda_i^0(j+1) \leq \Lambda_i(y_i) < \lambda_i^0(j)\} \\ j = 0, \dots, 2^{M-1}-2, i = 1, \dots, n. \end{cases} \quad (17)$$

同样, 当 u_i 表示 $\Lambda_i(y_i)$ 取值于不同区间 $\Omega_i^1(j), \Omega_i^0(j), j=0, \dots, 2^{M-1}-1$ 时, 它的意义在于提供了 u_i 的可信度信息。若 j 越大, 则分别表示 $u_i = 1, 0$ 越可信。

与(6)、(7)、(8)式对应, 我们记 u_i 的条件分布为

$$\begin{cases} P(\Omega_i^1(j) | H^1) = \alpha_i(j), \\ P(\Omega_i^1(j) | H^0) = \beta_i(j), \\ P(\Omega_i^0(j) | H^1) = p_i(j), \\ P(\Omega_i^0(j) | H^0) = q_i(j) \\ j = 0, \dots, 2^n - 1, i = 1, \dots, n. \end{cases} \quad (18)$$

则我们有关系式

$$\begin{cases} \sum_{j=0}^{2^{M-1}-1} \alpha_i(j) = \alpha_i, \\ \sum_{j=0}^{2^{M-1}-1} \beta_i(j) = \beta_i, \\ \sum_{j=0}^{2^{M-1}-1} p_i(j) = 1 - \alpha_i, \\ \sum_{j=0}^{2^{M-1}-1} q_i(j) = 1 - \beta_i, \end{cases} \quad (19)$$

而且有:

$$\begin{cases} \sum_{j=j_0}^{2^{M-1}-1} \alpha_i(j) = 1 - L_i^1(\lambda_i^1(j_0)), \\ \sum_{j=j_0}^{2^{M-1}-1} \beta_i(j) = 1 - L_i^0(\lambda_i^0(j_0)) \\ \sum_{j=j_0}^{2^{M-1}-1} p_i(j) = L_i^1(\lambda_i^0(j_0)), \\ \sum_{j=j_0}^{2^{M-1}-1} q_i(j) = L_i^0(\lambda_i^0(j_0)) \end{cases} \quad (20)$$

与前一段类似, 同样采用 Kullback 分辨率作为优化准则, 我们可以得到经优化的再分解门限 $\lambda_i^1(j), \lambda_i^0(j), j=1, \dots, 2^M-1$ 应满足方程组:

$$\lambda_i^1(j) = \frac{\alpha_i(j-1)\alpha_i(j)}{\alpha_i(j)\beta_i(j-1) - \alpha_i(j-1)\beta_i(j)} \ln \frac{\alpha_i(j)\beta_i(j-1)}{\beta_i(j)\alpha_i(j-1)} \quad (21)$$

$$\lambda_i^0(j) = \frac{p_i(j-1)p_i(j)}{q_i(j)p_i(j-1) - p_i(j-1)q_i(j)} \ln \frac{q_i(j)p_i(j-1)}{p_i(j)q_i(j-1)} \quad (22)$$

于是结合(19)、(20)求解方程组(21)、(22),可得到 Kullback 分辨意义下的最优再分解,进而得到 u_i^* 的最优 M 比特改进信息。

关于求解方程组(21)和(22),以(21)为例,注意到 $\lambda^j(j)$ 只与 $\lambda^j(j-1), \lambda^j(j+1)$ 有关,因而当给定 $(\lambda^j(j), \lambda^j(j+1))$ 后,由(21)可唯一确定 $\lambda^j(j+2) \cdots [1]$ 。因此只需以 $\lambda^j(0)$ 为起点,一维搜索 $\lambda^j(1)$ 。一旦 $\lambda^j(1)$ 设定,便可启动运算,直到求得最优再分解门限。

3 再分解的非退化

接下来,我们对上述优化过程作进一步说明。多比特信息 u_i 对 u_i^* 的改进,基于对采样似然比 $\Lambda_i(y_i)$ 取值的更细致描述,对应于 $\Omega_i^j(j)$ 和 $\Omega_i^0(j)$ 的再分解。我们希望能证实,对 $\Omega_i^j(\Omega_i^0)$ 的最优 A 元分解不同于 $A-1$ 元分解,即最优再分解过程不是退化的,而是不断地细致化,这样就可望最终有 $W_i(u_i) \rightarrow \ln \Lambda_i(y_i)$, DM, 提供采样的愈来愈真实的描述信息,使系统逼近直接传输采样 $\{y_i\}$ 的集中式检测。

由于问题的对称性,只讨论对 Ω_i^j 的再分解。分辨系数(13)由二部分组成,记 Ω_i^j 的 A 元再分解对分辨系数的贡献为 $K_i(A)$, $K_i^*(A)$ 为最大者。若能证明 $K_i^*(A)$ 之间有严格不等式关系:

$$K_i^*(A) > K_i^*(A-1) \quad (23)$$

则最优再分解过程必是非退化的。

命题 在 Kullback 信息量分辨率意义下的最优再分解过程必是非退化的。

证明 当 $A=1$ 时, Ω_i^j 的 $A-1$ 元再分解为 Ω_i^j 自身。再分解过程有意义的起点是 u_i^* 为非平凡局部判决,即 $0 < \alpha_i < 1, 0 < \beta_i < 1$, 此时有:

$$K_i^*(0) \equiv -\beta_i \ln \frac{\alpha_i}{\beta_i} \quad (24)$$

若 $A-1$ 元最优再分解为非退化的,其相应的各子区间的条件概率为 $\alpha_i^*(0), \dots, \alpha_i^*(A-2); \beta_i^*(0), \dots, \beta_i^*(A-2)$, 则应能保证:

$$\begin{aligned} \alpha_i^*(j) &\neq 0 & j = 0, \dots, A-2 \\ \beta_i^*(j) &\neq 0 \end{aligned} \quad (25)$$

在此基础上,我们可构造 Ω_i^j 的一种 A 元再分解,即将子区间 $\Omega_i^j(A-2)$ 再分解,使得

$$\begin{aligned} \alpha_i(j) &= \alpha_i^*(j) & j = 0, \dots, A-3 \\ \alpha_i(A-2) &= \alpha_i(A-1) = \frac{\alpha_i^*(A-2)}{2} \end{aligned} \quad (26)$$

则相应的分辨系数为

$$K_i(A) = -\sum_{j=0}^{A-1} \beta_i(j) \cdot \ln \frac{\alpha_i(j)}{\beta_i(j)} \quad (27)$$

注意到 $\beta_i(A-2) + \beta_i(A-1) = \beta_i^*(A-2)$, 经运算可得:

$$\begin{aligned} &K_i(A) - K_i^*(A-1) \\ &= \beta_i^*(A-2) \ln \frac{2}{\beta_i^*(A-2)} - \beta_i(A-2) \ln \frac{1}{\beta_i(A-2)} - \beta_i(A-1) \ln \frac{1}{\beta_i(A-1)} \end{aligned}$$

由 Holder 不等式,我们可推知:

$$\frac{\beta_i(A-2)}{\beta_i^*(A-2)} \ln \frac{1}{\beta_i^*(A-2)} + \frac{\beta_i(A-1)}{\beta_i^*(A-2)} \ln \frac{1}{\beta_i^*(A-1)} \leq \ln \frac{2}{\beta_i^*(A-2)}$$

又 $\beta_i(A-2) \neq \beta_i^*(A-1)$ (28)

故不等式严格为真，因而有：

$$K_i(A) > K_i^*(A-1) \quad (29)$$

当然更有： $K_i^*(A) > K_i^*(A-1)$ 。 (证毕)

当 A 取值 2^{M-1} 时，正是我们研究的 M 比特信息优化过程。按本文方法确定 u_i ，当 M 增加时，的确给出了 u_i^* 的更细致的补充和改进。

4 数值结果及讨论

多比特信息优化研究以通常意义下的分布式检测为基础，因此要通过与 u_i^* 的检测性能比较，来衡量其得益。

考虑 $N=3$ 个 DM 构成的并行 I. I. D. 系统，和 Gauss 信道下的已知信号检测问题：

$$\begin{cases} H_0: & y_i = I + n_i \\ H_1: & y_i = n_i \end{cases} \quad (30)$$

其中 $n_i \sim N(0, 1)$ 。

给定之 u_i^* 工作于门限 $\lambda_i(0)=1$ 。在此基础上设计多比特改进信息，相应的系统检测特性曲线及有关数值结果，分别示于图 3, 4, 5。

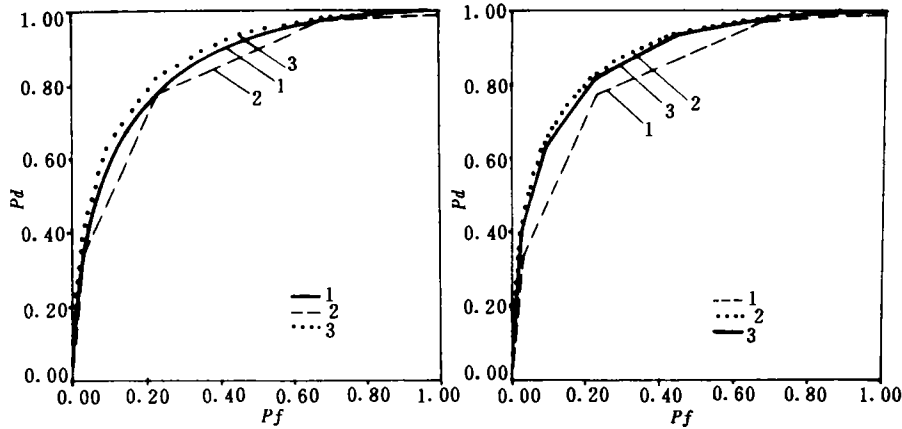


图 3 2 比特信息检测性能

Gauss 信道, $N=3, S=1$

① optimal ② 2-bit ③ Fixed threshold=1

图 4 多比特信息检测性能比较

Gauss 信道, $N=3, S=1$

① Fixed threshold=1 ② 3-bit ③ 2-bit

$M=2$ 时, DM 局部处理的三个工作门限为

$$\lambda_i^0(1) = 0.328 < \lambda_i(0) = 1 < \lambda_i^1(1) = 2.414$$

从图 3 可以看出，由于增大了向融合中心的信息传输，和固定的 u_i^* 相比，系统性能有明显改善，甚至能优于 1 比特信息的最优检测性能。而 $M > 2$ 后，改善幅度较小(图 4)。

分布式检测性能的上限是直接传输采样信息的集中式处理性能。由图 5 可看出，只

须较小的 M , 就可获得近似集中处理的性能。这说明了多比特信息分布式检测方案是可行的。

5 结论

通常意义下的分布式检测要求 DM_i 只向融合中心传输 1 比特的局部“硬”判决信息。本文拓展了已有模型, 在允许 DM_i 向融合中心传输多比特信息的条件下, 研究了如何提供最优的多比特信息, 以利于充分改善系统检测性能。数值结果表明, 只需较小的 M , 则经优化的 M -比特信息便可充分描述原始采样, 使系统检测性能接近于集中处理性能。因此, 多比特信息分布式检测方案是可行的。

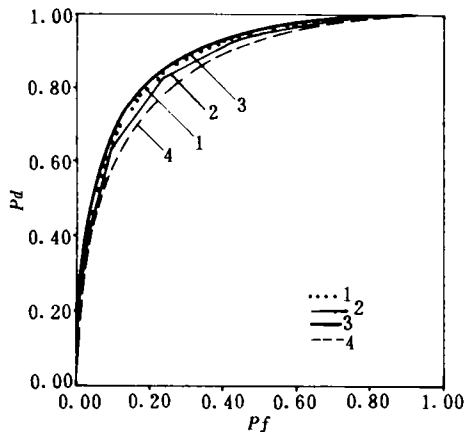


图 5 多比特信息检测与集中处理性能比较

Gauss 信道, $N=3, S=1$

①3-bit ②2-bit ③Centred ④Optimal

参 考 文 献

- 1 谢红卫. 分布式检测优化理论研究:[学位论文], 1993
- 2 谢红卫、苏建志. 分布式检测最优化研究. 国防科技大学校庆四十周年文集, 第一卷, 1993
- 3 T Kailath. The Divergence and Bhattacharyya Distance Measures in Signal Selection. IEEE Trans. on Communication technology, Com-15, Feb. 1967
- 4 W A Hashlamoun, P K Varshney. Performance Aspects of decentralized Detection Structures. Proc of IEEE Int Conf on SMC, Boston, MA, 1989
- 5 C C Lee, J J Chao. Optimum Local Decision Space Partitioning for Distributed Detection. IEEE Trans on AES, 1989. AES-25(4)

Optimization for Distributed Detection with Multi-bits Information

Xie Hongwei

(Department of Automatic Control)

Abstract

This paper extends the ordinary distributed detection model, assuming that the local sensors are allowed to send multi-bits information to the fusion centre, rather than only 1-bit local hard decision. The paper proposes the way to determine the optimal multi-bits information which can sufficiently improve the performance of the detection network. Numerical results show the multi-bits approach is practical.

Key word Multi-bits, Distributed detection, Optimization